

## II-63 混合砂礫の移動限界について

京都大学防災研究所 正員 芦田 初男

京都大学防災研究所 正員 道上 正規

京都大学 大学院 学生員 江頭 進治

**1. 緒言** 混合砂礫床の河床変動を計算するにあたっては、混合砂礫の流砂量式をいかなる関数で表わすかが重要な課題である。Egiazaroff によって提案された混合砂礫の粒径別の限界揚流力を佐藤・吉川・芦田式に適用することによって、混合砂礫の流砂量をほぼ表示できることも前報<sup>1)</sup>において示しておいたが、一部 Egiazaroff の限界揚流力の式を直感的に修正し反比例式としたので、これに関する実験的検討を加えた。つぎに、以上のような考え方に基いて、混合砂礫の流砂量式を設定して、armour coat の粒度分布と河床変動について若干の考察を試みようとしたものである。

**2. 混合砂礫の移動限界に関する実験的考察** 実験水路は幅 20cm、長さ 20m の循環式水路で、この水路床に 6m の区間にわたりて、平均粒径 2.47mm および標準偏差  $\sqrt{d_{10}/d_{60}}$  が 3.73 の混合砂礫を二枚付けて、固定床の混合砂礫床を作製した。粒径が 17.5, 8.125, 2.870 および 0.359mm の 4 種類の砂礫にラッカーペイントを塗って、これをトレーサーとした。着色砂礫の數は並べ方には混合砂礫床の部分に 16 × 5cm 程度の面積になるようにして、その個数は 50 ~ 100 個とした。

着色砂礫が休止から移動を終えるまでの過程を時間に因する step と定義すれば、この移動過程が時間に因して一存で将来の変化が過去の変化と独立であると仮定することによって、原点(着色砂礫の設置地)に残る確率は次式のように表わされる。

$$N(t)/N(0) = e^{-\lambda t} \quad (1)$$

ここで、 $N(t), N(0)$  : 時刻  $t$  および  $0$  における原点の着色砂礫個数,  $\lambda$  : 単位時間当たりの移動確率である。同一砂礫の移動床においては、(1)式が成立することは実験的に確かめられておりが、本実験のようないくつかの固定床では移動し易い砂礫が時間の初期に数多く移動するが、残った砂礫は移動し難い状態となりに放置されてしまうので、測定期間内にわたりて(1)式を適用できない。著者らは、図-1 に示すように評価時間内を 30 秒および 60 秒にとって、移動確率を決定した。これらの両端にはあまり大きな差がないので、ここでは 60 秒の評価時間によって移動確率を求め、土屋によじて提案された移動確率  $0.5\%/\text{s}$  を移動限界状態の確率として、 $U_{\text{crit}}$  を求めた結果が図-2 に示されている。この図における実線は Egiazaroff によって提案された乱流状態の限界揚流力の式を次式のように変形したものである。

$$\frac{U_{\text{crit}}}{U_{\text{cm}}} = \frac{1.64}{(\log_{10} d_i/d_m)^2} \frac{d_i}{d_m}, \quad \frac{U_{\text{cm}}}{g d_m} = 0.06 \quad (2)$$

ここで、添字  $m, i$  ; それと平均粒径および各粒径に対応する。(2)式の実験的検証は  $d_i/d_m = 0.4 \sim 9$  の範囲であるが、この図に示すように、著者らの実験では、 $d_i/d_m < 0.4$  では  $U_{\text{crit}}/U_{\text{cm}} = 0.85$  (図中

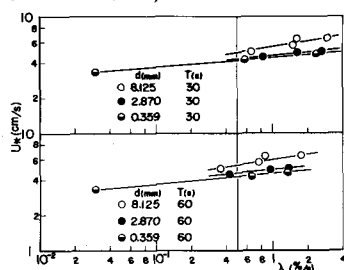


図-1 磨擦係数と移動確率の関係

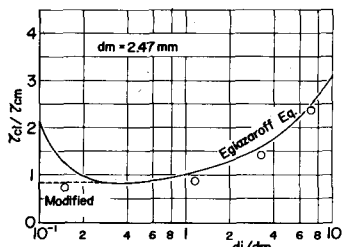


図-2 混合砂礫の限界揚流力

の実線)として、(2)式は修正しなければならぬようである。今後実験を追加し評価時間の吟味をしなければならぬ。

### 3. 砂砾のばり場合の混合砂礫床の河床変動

(1) armour coat いま初期の揚流力とすれば、(a)  $t_0 < 0.85 \text{ cm}$ : 全砂礫は移動しがい状態にある。(b)  $0.85 \text{ cm} \leq t_0 \leq t_{\max}$ : 実験結果および流砂量式の考察から、移動しがい砂礫が一部存在しておらず、顯著な河床変動が生じず揚流力もほとんど変化しないことが明らかにされた。しかしながら河床砂礫の粒度分布は変化する。この領域を parallel degradation と呼ぶ。(c)  $t_{\max} < t_0$ : 河床変動が生じる領域で、粒度分布の顯著な変化を示す領域を rotational degradation と呼んである。

以上のように河床変動に関する領域区分は混合砂礫床の河床変動を計算するにあたって、非常に簡便的であり、実用的には(c)の場合が重要に扱つてあると考えられる。この領域では、限界揚流力に通じる砂量に及ぼす影響は小川の範囲であるので、代表粒径を用いて流砂量式を使用するのが適当。佐藤・吉川・芦田式に図-2の限界揚流力を適用すれば、

$$g_{bi} = g U_*^3 P(d_i) \int_{d_{min}}^{d_{max}} f_0(d_i) F(t_0/t_{ci}) ddi \quad (3)$$

$$= f_0(d_i) F(t_0/t_{ci}) / \int_{d_{min}}^{d_{max}} f_0(d_i) F(t_0/t_{ci}) ddi \quad (4)$$

のようになるが、(b)の領域では、河床低下量は高々数倍程度であるが、これを  $j d_i$  で表わすと、armour coat の粒度分布は(5)式、一方流出砂礫の粒度分布は(6)式によって表わされる。

$$f_j(d_i) = (j+1) f_0(d_i) - j P_j(d_i) \quad (5), \quad \bar{P}(d_i) = \frac{1}{j} \{ P_1(d_i) + \dots + (j-[j]) P_j(d_i) \} \quad (6)$$

ここで、 $f_0(d_i)$ 、 $f_j(d_i)$ : 河床の初期より河床の下流低下時の河床砂礫の確率密度分布、 $P_j(d_i)$ 、 $\bar{P}(d_i)$ : 河床の下流低下時および平均の流出砂礫の確率密度分布である。(5)、(6)式の計算結果と実験値の比較が図-3に示されている。Armour coat の粒度分布は(5)式と比較するとよく一致している。

### (2) 河床変動 従来用いられてきた拡散型の河床変動を表わす式は次式のようになる。

$$\partial Z / \partial t = K \partial^2 Z / \partial x^2 \quad (7), \quad \text{ここで}, \quad K = (2l/20) \{ 1/(1-\lambda) \}^{1/2} F(t_0/t_{ci})^{1/2} / (0.9-1) a, \quad (8)$$

$a = V/U_*$  である。式(7)の初期および境界条件で解くと、(7)式の解は(9)式のようになる。

$$Z(x,t) |_{t=0} = 0, \quad \partial Z(x,t) / \partial x |_{x=0} = i_0 - i_c, \quad Z(x,t) |_{x=l} = 0 \quad (9)$$

$$Z = -(i_0 - i_c) [(l-x) - \frac{2}{\epsilon} \sum_{n=0}^{\infty} e^{-k \{ (2n+1)\pi / 2l \}^2 t} \{ \frac{2l}{(2n+1)\pi} \}^2 \cos \frac{(2n+1)\pi x}{2l}] \quad (10)$$

ここで、 $i_0$ : 初期河床勾配、 $i_c$ : 最大粒径の砂礫が移動開始時に持つ河床勾配、 $l$ : 上流端と下流端の距離である。図-4のように、計算値と実験結果はよく一致している。このことから、(a)の領域の河床変動の計算にあたって、代表粒径と上述べた境界条件を用いて十分な精度で河床変動を議論できるとして示してもよいと考えよう。

参考文献 1) 芦田・道上: 混合砂礫の河床変動、水工講演会講演集、1971,

2) 天野・土屋・道上: 砂礫の流送構造の確率過程についての特性について、東大防災研年報、昭43.

3) 土屋: 限界揚流力とその水工学上の適用に関する研究、昭38.

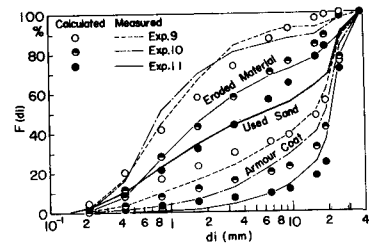


図-3 大きな砂礫の armour coat の粒度分布の計算値と実験値の比較

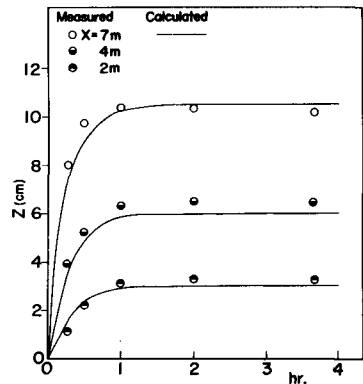


図-4 河床変動の計算値と実験値の比較

$$K = 200 \text{ cm/s}, \quad i_c = 0.005, \quad i_0 = 0.020$$

$$g = 375 \text{ cm}^3/\text{s}^2, \quad l = 2.0 \text{ m}$$